

# ECUACIÓN DE ONDA POR MEDIO DE DIFERENCIAS FINITAS

Angela Sofía Barajas Ochoa - 2200018  
Brayan Rodolfo Barajas Ochoa - 2170688  
Julian Guillermo Adarme Rodriguez - 2170789  
*Escuela de Física  
Universidad Industrial de Santander  
Bucaramanga, Colombia*

2 de agosto de 2022

## Índice

<b>1. Esquema Forward Time Centered Space</b>	<b>1</b>
1.1. Criterio estabilidad . . . . .	2
1.2. Solución con Boundary Conditions . . . . .	4
<b>2. Esquema Lax-Friedrichs</b>	<b>5</b>
2.1. Criterio estabilidad . . . . .	6
2.2. Solución con Boundary Conditions . . . . .	7
<b>3. Esquema Leapfrog</b>	<b>8</b>
3.1. Criterio estabilidad . . . . .	9
3.2. Solución con Boundary Conditions . . . . .	10
<b>4. Esquema Lax-Wendroff</b>	<b>11</b>
4.1. Criterio estabilidad . . . . .	13
4.2. Solución con Boundary Conditions . . . . .	14
<b>5. Runge-Kutta Cash-Karp</b>	<b>15</b>
5.1. Criterio estabilidad . . . . .	18
5.2. Solución con Boundary Conditions . . . . .	19

## 1. Esquema Forward Time Centered Space

**Ecuación de onda**

$$\vec{u} = (\pi, \psi)^T \rightarrow \begin{aligned} \partial_t \pi &= v \partial_x \psi \\ \partial_t \psi &= v \partial_x \pi \\ \partial_t \phi &= \pi \end{aligned}$$

**Condiciones iniciales**

$$\begin{aligned} \phi &\rightarrow Ae^{-(x-x_0)^2/\sigma^2} \\ \psi &\rightarrow \partial_x \phi \\ \pi &= 0 \end{aligned}$$

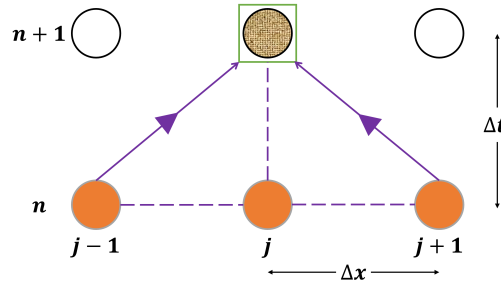


Figura 1: Malla con un nivel temporal para esquema FTCS

$$\text{I } \partial_t \pi = v \partial_x \psi ; \quad v > 0$$

$$\frac{\pi_j^{n+1} - \pi_j^n}{\Delta t} = v \left( \frac{\psi_{j+1}^n - \psi_{j-1}^n}{2\Delta x} \right) + \mathcal{O}(\Delta t, \Delta x^2)$$

$$\pi_j^{n+1} = \pi_j^n + \frac{v \Delta t}{2 \Delta x} (\psi_{j+1}^n - \psi_{j-1}^n) + \mathcal{O}(\Delta t^2, \Delta x^2 \Delta t) \quad (1)$$

$$\text{II } \partial_t \psi = v \partial_x \pi ; \quad v > 0$$

$$\frac{\psi_j^{n+1} - \psi_j^n}{\Delta t} = v \left( \frac{\pi_{j+1}^n - \pi_{j-1}^n}{2\Delta x} \right) + \mathcal{O}(\Delta t, \Delta x^2)$$

$$\psi_j^{n+1} = \psi_j^n + \frac{v \Delta t}{2 \Delta x} (\pi_{j+1}^n - \pi_{j-1}^n) + \mathcal{O}(\Delta t^2, \Delta x^2 \Delta t) \quad (2)$$

$$\text{III } \partial_t \phi = \pi$$

$$\frac{\phi_j^{n+1} - \phi_j^n}{\Delta t} = \pi_j^n + \mathcal{O}(\Delta t)$$

$$\phi_j^{n+1} = \phi_j^n + \Delta t \pi_j^n + \mathcal{O}(\Delta t^2) \quad (3)$$

### 1.1. Criterio estabilidad

A continuación se va a determinar qué tan estable es este esquema analizando para cada una de las ecuaciones halladas. Para esto hay que tener en cuenta que si  $|\xi|^2 > 1$  el sistema es inestable, y si  $|\xi|^2 \leq 1$ , el sistema es estable.

$$1. \pi_j^n = \xi_1^n e^{ikx_j} \text{ y } \psi_j^n = \xi_2^n e^{ikx_j}$$

$$\xi_1^{n+1} e^{ikx_j} = \xi_1^n e^{ikx_j} + \frac{\alpha}{2} (\xi_2^n e^{ikx_{j+1}} - \xi_2^n e^{ikx_{j-1}})$$

$$\xi_1 = 1 + \frac{\alpha}{2} (e^{ik\Delta x} - e^{-ik\Delta x}) \left( \frac{\xi_2}{\xi_1} \right)^n$$

$$\xi_1 = 1 + i\alpha \sin(k\Delta x) \left( \frac{\xi_2}{\xi_1} \right)^n$$

Primero se tiene que (se mostrarán formas de demostrar que ambos  $\xi$  son iguales)

$$\xi_1 - 1 = i\alpha \sin(k\Delta x) \left( \frac{\xi_2}{\xi_1} \right)^n$$

$$\xi_2 - 1 = i\alpha \sin(k\Delta x) \left( \frac{\xi_1}{\xi_2} \right)^n$$

Se dividen ambas expresiones de la forma:

$$\frac{\xi_1 - 1}{\xi_2 - 1} = \frac{\xi_2^{2n}}{\xi_1^{2n}}$$

si  $n = 0$  entonces  $\xi_1 - 1 = \xi_2 - 1 \rightarrow \xi_1 = \xi_2$

$$\text{tambi3n } \frac{d}{dn} \left[ \frac{\xi_1 - 1}{\xi_2 - 1} = \left( \frac{\xi_2}{\xi_1} \right)^{2n} \right] \Rightarrow 0 = \underbrace{\left( \frac{\xi_2}{\xi_1} \right)^{2n}}_{\neq 0} \ln \frac{\xi_2^2}{\xi_1^2} = 0 \Rightarrow \frac{\xi_2^2}{\xi_1^2} = 1 \Rightarrow \xi_1^2 = \xi_2^2$$

$$(a + bi)^2 = (c + di)^2 \Rightarrow a^2 + 2abi - b^2 = c^2 + 2cdi - d^2$$

$$\text{donde } a^2 - b^2 = c^2 - d^2 \wedge 2ab = 2cd \Rightarrow a = \frac{cd}{b}, b \neq 0$$

$$\frac{c^2 d^2}{b^2} - b^2 = c^2 - d^2$$

$$c^2 d^2 - b^4 = b^2 c^2 - b^2 d^2$$

$$c^2 d^2 - c^2 b^2 = b^4 - b^2 d^2$$

$$c^2 (d^2 - b^2) = b^2 (b^2 - d^2)$$

$$c^2 (d^2 - b^2) + b^2 (d^2 - b^2) = 0$$

$$(c^2 + b^2) (d^2 - b^2) = 0$$

Tiene sentido que  $d^2 = b^2$ , de esta forma  $a^2 - b^2 = c^2 - d^2 \rightarrow a^2 = c^2$

$$|a + bi|^2 = a^2 + b^2 = c^2 + d^2 = |c + di|^2 \text{ con lo que } |a + bi| = |c + di|$$

como ya se pudo demostrar que son iguales entonces:

$$|\xi|^2 = 1 + [\alpha \sin(k\Delta x)]^2 > 1$$

$$2. \psi_j^n = \xi_1^n e^{ikx_j} \text{ y } \pi_j^n = \xi_2^n e^{ikx_j}$$

$$\xi_1^{n+1} e^{ikx_j} = \xi_1^n e^{ikx_j} + \frac{\alpha}{2} (\xi_2^n e^{ikx_{j+1}} - \xi_2^n e^{ikx_{j-1}})$$

$$\xi_1 = 1 + \frac{\alpha}{2} (e^{ik\Delta x} - e^{-ik\Delta x}) \left( \frac{\xi_2}{\xi_1} \right)^n$$

$$\xi_1 = 1 + i\alpha \sin(k\Delta x) \left( \frac{\xi_2}{\xi_1} \right)^n$$

Realizando el mismo procedimiento anterior se demuestra que  $\xi_1$  y  $\xi_2$  son iguales, asi:

$$|\xi|^2 = 1 + [\alpha \sin(k\Delta x)]^2 > 1$$

$$3. \phi_j^n = \xi_1^n e^{ikx_j} \text{ y } \pi_j^n = \xi_2^n e^{ikx_j}$$

$$\xi_1^{n+1} e^{ikx_j} = \xi_1^n e^{ikx_j} + \xi_2^n e^{ikx_j} \Delta x$$

$$\xi_1 = 1 + \left( \frac{\xi_2}{\xi_1} \right)^n \Delta t$$

$$\xi_1 - 1 = \left( \frac{\xi_2}{\xi_1} \right)^n \Delta t$$

$$\xi_2 - 1 = \left( \frac{\xi_1}{\xi_2} \right)^n \Delta t$$

$$\frac{\xi_1 - 1}{\xi_2 - 1} = \left( \frac{\xi_2}{\xi_1} \cdot \frac{\xi_1}{\xi_2} \right)^n = \frac{\xi_2^{2n}}{\xi_1^{2n}}$$

si  $n = 0$  entonces  $\xi_1 - 1 = \xi_2 - 1 \rightarrow \xi_1 = \xi_2$

y se realiza el mismo procedimiento anterior para demostrar que son iguales los  $\xi_i$ . Se debe tener en cuenta que el criterio relaciona a  $\xi$  con su conjugado pero este  $\xi$  solo cuenta con parte real, por eso:

$$|\xi|^2 = 1 + 2\Delta t + (\Delta t)^2 > 1$$

## 1.2. Solución con Boundary Conditions

A este esquema y a todos los esquemas que serán descritos en este ensayo se le aplicaron tres condiciones de frontera, las cuales se definen de la siguiente manera

- La primera condición de frontera se denomina **PERIODIC** debido a que cuando la solución numérica llega a los extremos, estos se vuelven a encontrar; esto se puede entender con el hecho de que se está en una región topológicamente conectada.
- La segunda condición se denomina **OUTGOING** debido a que cuando la solución numérica llega a los extremos la onda correspondiente se disipa, por lo que a diferencia del periódico, aquí los extremos no se vuelven a encontrar.
- Finalmente se tiene la condición **INGOING**, en este caso al llegar a los extremos la onda se refleja tanto en el eje  $x$  como en el eje  $y$ , por lo que se puede observar como si la onda volteada se estuviera devolviendo al punto inicial.

[Enlace para ver los .gif de las soluciones del esquema para cada Boundary Condition](#)

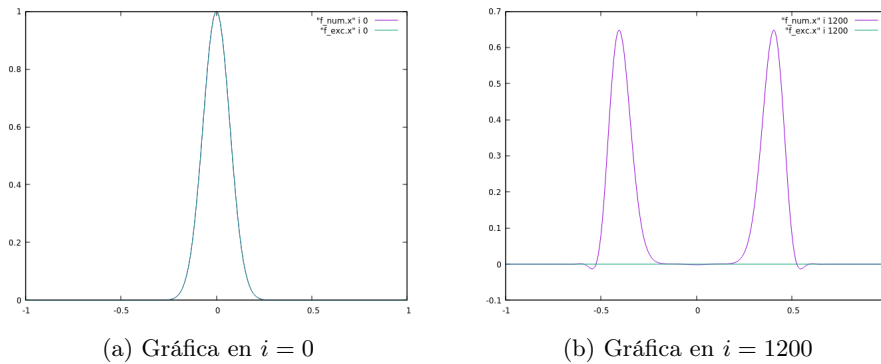


Figura 2: Gráficas de FTCS con condición de frontera periódica

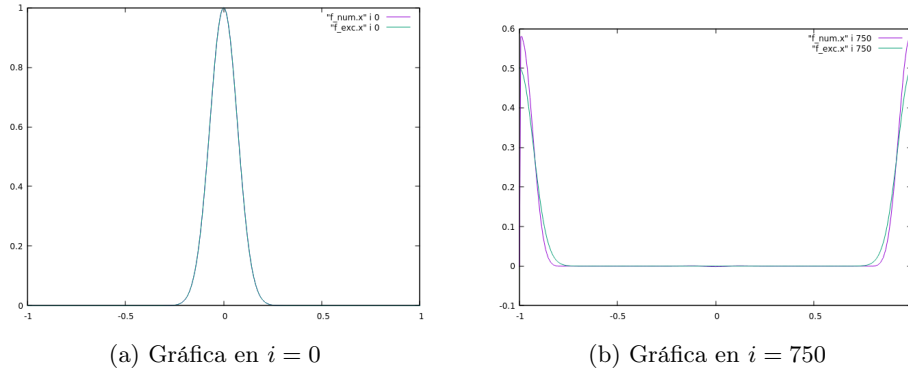


Figura 3: Gráficas de FTCS con condición de frontera outgoing

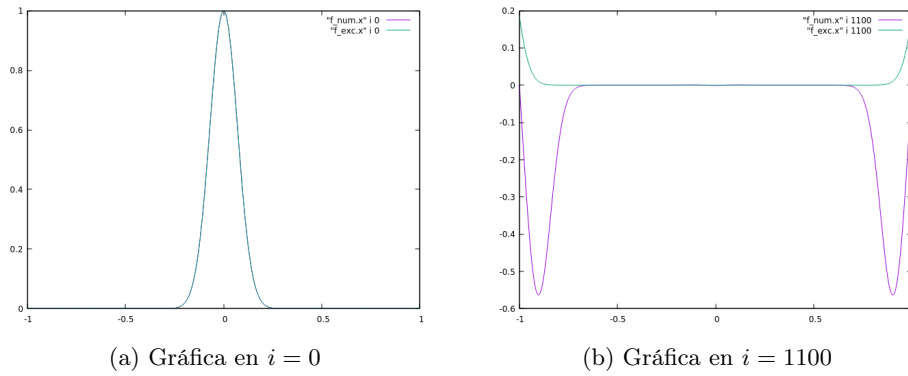


Figura 4: Gráficas de FTCS con condición de frontera ingoing

## 2. Esquema Lax-Friedrichs

Recordando que Lax-Friedrichs es igual a Forward Time Centered Space, con la única diferencia de que el primer término (es decir  $u_j^n$ ) es igual a  $\frac{1}{2} (u_{j+1}^n + u_{j-1}^n)$ .

**I**  $\partial_t \pi = v \partial_x \psi ; \quad v > 0$

Aquí tomamos en cuenta la ecuación 1 y reemplazamos  $\pi_j^n = \frac{1}{2} (\pi_{j+1}^n + \pi_{j-1}^n)$ , entonces finalmente nos queda

$$\pi_j^{n+1} = \frac{1}{2} (\pi_{j+1}^n + \pi_{j-1}^n) + \frac{v \Delta t}{2 \Delta x} (\psi_{j+1}^n - \psi_{j-1}^n) \quad (4)$$

**II**  $\partial_t \psi = v \partial_x \pi ; \quad v > 0$

Aquí tomamos en cuenta la ecuación 2 y reemplazamos  $\psi_j^n = \frac{1}{2} (\psi_{j+1}^n + \psi_{j-1}^n)$ , entonces finalmente nos queda

$$\psi_j^{n+1} = \frac{1}{2} (\psi_{j+1}^n + \psi_{j-1}^n) + \frac{v \Delta t}{2 \Delta x} (\pi_{j+1}^n - \pi_{j-1}^n) \quad (5)$$

**III**  $\partial_t \phi = \pi$

Aquí tomamos en cuenta la ecuación 3 y reemplazamos  $\phi_j^n = \frac{1}{2} (\phi_{j+1}^n + \phi_{j-1}^n)$  y  $\pi_j^n = \frac{1}{2} (\pi_{j+1}^n + \pi_{j-1}^n)$ , entonces finalmente nos queda

$$\phi_j^{n+1} = \frac{1}{2} (\phi_{j+1}^n + \phi_{j-1}^n) + \frac{\Delta t}{2} (\pi_{j+1}^n + \pi_{j-1}^n) \quad (6)$$

## 2.1. Criterio estabilidad

Repetimos el proceso para hallar la estabilidad del sistema de manera similar al caso anterior

$$1. \pi_j^n = \xi_1^n e^{ikx_j} \text{ y } \psi_j^n = \xi_2^n e^{ikx_j}:$$

$$\xi_1^{n+1} e^{ikx_j} = \frac{1}{2} (\xi_1^n e^{ikx_{j+1}} + \xi_1^n e^{ikx_{j-1}}) + \frac{\alpha}{2} (\xi_2^n e^{ikx_{j+1}} - \xi_2^n e^{ikx_{j-1}})$$

$$\xi_1 = \frac{1}{2} (e^{ik\Delta x} + e^{-ik\Delta x}) + \frac{\alpha}{2} \frac{\xi_2^n}{\xi_1^n} (e^{ik\Delta x} - e^{-ik\Delta x})$$

$$\xi_1 = \cos(k\Delta x) + i\alpha \left( \frac{\xi_2}{\xi_1} \right)^n \sin(k\Delta x)$$

se obtienen las siguientes expresiones

$$\xi_1 - \cos(k\Delta x) = i\alpha \left( \frac{\xi_2}{\xi_1} \right)^n \sin(k\Delta x)$$

$$\xi_2 - \cos(k\Delta x) = i\alpha \left( \frac{\xi_1}{\xi_2} \right)^n \sin(k\Delta x)$$

se dividen

$$\frac{\xi_1 - \cos(k\Delta x)}{\xi_2 - \cos(k\Delta x)} = \left( \frac{\xi_2}{\xi_1} \right)^{2n}$$

se derivada

$$\frac{d}{dn} \left( \frac{\xi_1 - \cos(k\Delta x)}{\xi_2 - \cos(k\Delta x)} \right) = \frac{d}{dn} \left( \frac{\xi_2}{\xi_1} \right)^{2n}$$

$$0 = \underbrace{\left( \frac{\xi_2}{\xi_1} \right)^{2n}}_{\neq 0} \ln \frac{\xi_2^2}{\xi_1^2} \Rightarrow \frac{\xi_2^2}{\xi_1^2} = 1 \Rightarrow \xi_2 = \xi_1$$

ya que se demostro que ambos son iguales se tiene que:

$$|\xi|^2 = 1 - \sin^2(k\Delta x)[1 - \alpha^2] \leq 1$$

$$2. \psi_j^n = \xi_1^n e^{ikx_j} \text{ y } \pi_j^n = \xi_2^n e^{ikx_j}$$

$$\xi_1^{n+1} e^{ikx_j} = \frac{1}{2} (\xi_1^n e^{ikx_{j+1}} + \xi_1^n e^{ikx_{j-1}}) + \frac{\alpha}{2} (\xi_2^n e^{ikx_{j+1}} - \xi_2^n e^{ikx_{j-1}})$$

$$\xi_1 = \frac{1}{2} (e^{ik\Delta x} + e^{-ik\Delta x}) + \frac{\alpha}{2} \frac{\xi_2^n}{\xi_1^n} (e^{ik\Delta x} - e^{-ik\Delta x})$$

$$\xi_1 = \cos(k\Delta x) + i\alpha \left( \frac{\xi_2}{\xi_1} \right)^n \sin(k\Delta x)$$

mismo proceso anterior y

$$|\xi|^2 = 1 - \sin^2(k\Delta x)[1 - \alpha^2] \leq 1$$

3. finalmente si  $\phi_j^n = \xi_1^n e^{ikx_j}$  y  $\pi_j^n = \xi_2^n e^{ikx_j}$  tenemos que

$$\xi_1^{n+1} e^{ikx_j} = \frac{\xi_1^n}{2} (e^{ikx_{j+1}} + e^{ikx_{j-1}}) + \frac{\Delta t}{2} \xi_2^n,$$

$$\xi_1 = \cos k\Delta x + \Delta t \cos k\Delta x \left( \frac{\xi_2}{\xi_1} \right)^2,$$

$$\xi_2 = \cos k\Delta x + \Delta t \cos k\Delta x \left( \frac{\xi_1}{\xi_2} \right)^2.$$

Y siguiendo el proceso de siempre obtenemos que

$$|\xi|^2 = \cos^2(k\Delta x) + 2\cos(k\Delta x)\Delta t + (\Delta t)^2 \leq 1$$

## 2.2. Solución con Boundary Conditions

[Enlace para ver los .gif de las soluciones del esquema para cada Boundary Condition](#)

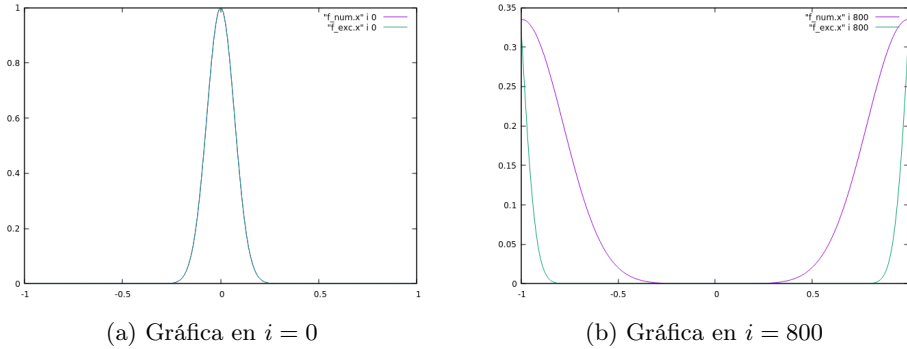


Figura 5: Gráficas de Lax-Friedrichs con condición de frontera periódica

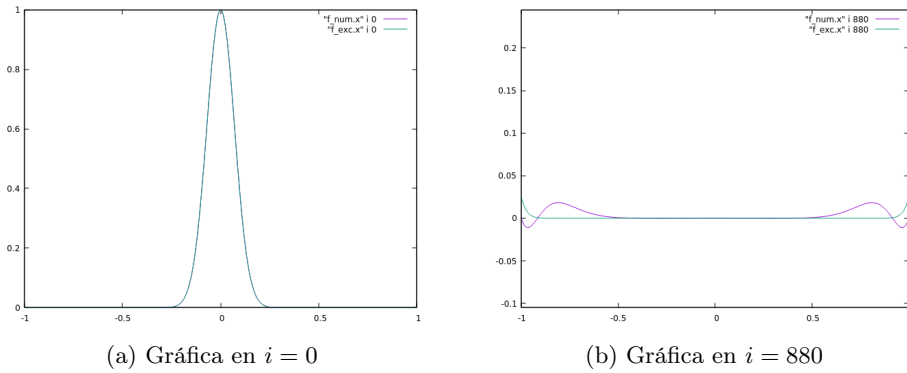


Figura 6: Gráficas de Lax-Friedrichs con condición de frontera outgoing

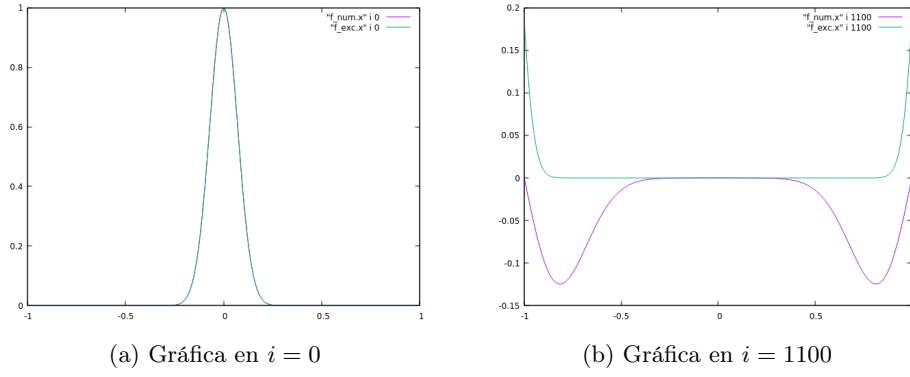


Figura 7: Gráficas de Lax-Friedrichs con condición de frontera ingoing

### 3. Esquema Leapfrog

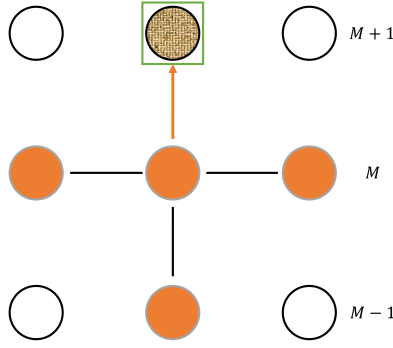


Figura 8: Malla con tres niveles temporales para esquema Leapfrog

$$\text{I } \partial_t \pi = v \partial_x \psi ; \quad v > 0$$

$$\frac{\pi_j^{n+1} - \pi_j^{n-1}}{2\Delta t} = v \left( \frac{\psi_{j+1}^n - \psi_{j-1}^n}{2\Delta x} \right)$$

$$\pi_j^{n+1} = \pi_j^{n-1} + v \frac{\Delta t}{\Delta x} (\psi_{j+1}^n - \psi_{j-1}^n) \quad (7)$$

$$\text{II } \partial_t \psi = v \partial_x \pi ; \quad v > 0$$

$$\frac{\psi_j^{n+1} - \psi_j^{n-1}}{2\Delta t} = v \left( \frac{\pi_{j+1}^n - \pi_{j-1}^n}{2\Delta x} \right)$$

$$\psi_j^{n+1} = \psi_j^{n-1} + v \frac{\Delta t}{\Delta x} (\pi_{j+1}^n - \pi_{j-1}^n) \quad (8)$$

$$\text{III } \partial_t \phi = \pi$$

$$\frac{\phi_j^{n+1} - \phi_j^{n-1}}{2\Delta t} = \pi_j^n$$

$$\phi_j^{n+1} = \phi_j^{n-1} + 2 \Delta t \pi_j^n \quad (9)$$



### 3.1. Criterio estabilidad

1.  $\pi_j^n = \xi_1^n e^{ikx_j}$  y  $\psi_j^n = \xi_2^n e^{ikx_j}$

$$\xi_1^{n+1} e^{ikx_j} = \xi_1^{n-1} e^{ikx_j} + \alpha (\xi_2^n e^{ikx_{j+1}} - \xi_2^n e^{ikx_{j-1}})$$

$$\xi_1 = \xi_1^{-1} + \alpha \left( \frac{\xi_2}{\xi_1} \right)^n (e^{ik\Delta x} - e^{-ik\Delta x})$$

$$\xi_1 = \xi_1^{-1} + i\alpha \left( \frac{\xi_2}{\xi_1} \right)^n \sin(k\Delta x)$$

$$\xi_1^2 = 1 + i\alpha \left( \frac{\xi_2}{\xi_1} \right)^n \xi_1 \sin(k\Delta x)$$

$$\xi_1^2 - 1 = i\alpha \left( \frac{\xi_2}{\xi_1} \right)^n \xi_1 \sin(k\Delta x) \text{ y } \xi_2^2 - 1 = i\alpha \left( \frac{\xi_1}{\xi_2} \right)^n \xi_2 \sin(k\Delta x)$$

se divide

$$\frac{\xi_1^2 - 1}{\xi_2^2 - 1} = \frac{\xi_1}{\xi_2} \left( \frac{\xi_2}{\xi_1} \right)^{2n}$$

se deriva

$$\frac{d}{dn} \left( \frac{\xi_1^2 - 1}{\xi_2^2 - 1} \right) = \frac{\xi_1}{\xi_2} \frac{d}{dn} \left( \frac{\xi_2}{\xi_1} \right)^{2n}$$

$$0 = \underbrace{\left( \frac{\xi_2}{\xi_1} \right)^{2n+1}}_{\neq 0} \ln \frac{\xi_2^2}{\xi_1^2} \Rightarrow \frac{\xi_2^2}{\xi_1^2} = 1 \Rightarrow \xi_2 = \xi_1$$

ya se demostró que son iguales ahora:

$$\xi = i\alpha \sin(k\Delta x) \pm \sqrt{1 - \alpha^2 \sin^2(k\Delta x)}$$

$$|\xi|^2 = 1 \tag{10}$$

2.  $\psi_j^n = \xi_1^n e^{ikx_j}$  y  $\pi_j^n = \xi_2^n e^{ikx_j}$

$$\xi_1^{n+1} e^{ikx_j} = \xi_1^{n-1} e^{ikx_j} + \alpha (\xi_2^n e^{ikx_{j+1}} - \xi_2^n e^{ikx_{j-1}})$$

$$\xi_1 = \xi_1^{-1} + \alpha \left( \frac{\xi_2}{\xi_1} \right)^n (e^{ik\Delta x} - e^{-ik\Delta x})$$

$$\xi_1 = \xi_1^{-1} + i\alpha \left( \frac{\xi_2}{\xi_1} \right)^n \sin(k\Delta x)$$

$$\xi_1^2 = 1 + i\alpha \left( \frac{\xi_2}{\xi_1} \right)^n \xi_1 \sin(k\Delta x)$$

$$\xi = i\alpha \sin(k\Delta x) \pm \sqrt{1 - \alpha^2 \sin^2(k\Delta x)}$$

$$|\xi|^2 = 1 \tag{11}$$

$$3. \phi_j^n = \xi_1^n e^{ikx_j} \text{ y } \pi_j^n = \xi_2^n e^{ikx_j}$$

$$\xi_1^{n+1} e^{ikx_j} = \xi_1^{n-1} e^{ikx_j} + 2\Delta t \xi_2^n e^{ikx_j}$$

$$\xi_1 = \xi_1^{-1} + 2\Delta t \left( \frac{\xi_2}{\xi_1} \right)^n$$

$$\xi_1^2 = 1 + 2\Delta t \xi_1 \left( \frac{\xi_2}{\xi_1} \right)^n$$

$$\xi_1^2 - 1 = 2\Delta t \xi_1 \left( \frac{\xi_2}{\xi_1} \right)^n \text{ y } \xi_2^2 - 1 = 2\Delta t \xi_2 \left( \frac{\xi_1}{\xi_2} \right)^n$$

$$\frac{\xi_1^2 - 1}{\xi_2^2 - 1} = \left( \frac{\xi_2}{\xi_1} \right)^{2n} \frac{\xi_1}{\xi_2}$$

$$\frac{d}{dn} \left( \frac{\xi_1^2 - 1}{\xi_2^2 - 1} \right) = \frac{d}{dn} \left( \frac{\xi_2}{\xi_1} \right)^{2n} \frac{\xi_1}{\xi_2}$$

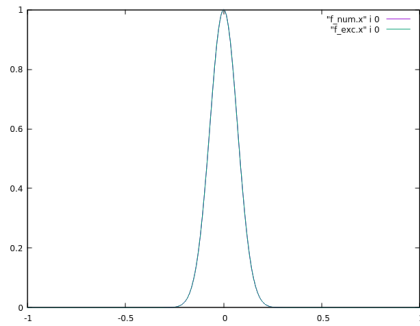
$$0 = \underbrace{\left( \frac{\xi_2}{\xi_1} \right)^{2n+1}}_{\neq 0} \ln \frac{\xi_2^2}{\xi_1^2} \Rightarrow \frac{\xi_2^2}{\xi_1^2} = 1 \Rightarrow \xi_2 = \xi_1$$

$$\xi^2 - \xi 2\Delta t - 1 = 0 \Rightarrow \xi = \frac{2\Delta t \pm \sqrt{(2\Delta t)^2 - 4}}{2}$$

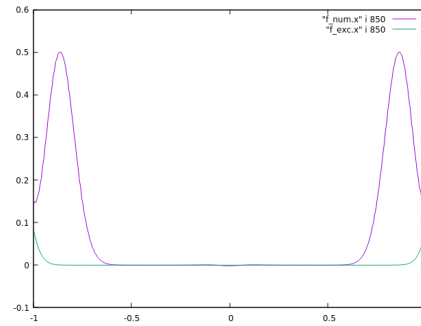
$$\xi = \Delta t \pm \sqrt{(\Delta t)^2 - 1}$$

### 3.2. Solución con Boundary Conditions

[Enlace para ver los .gif de las soluciones del esquema para cada Boundary Condition](#)



(a) Gráfica en  $i = 0$



(b) Gráfica en  $i = 850$

Figura 9: Gráficas de leapfrog con condición de frontera periódica

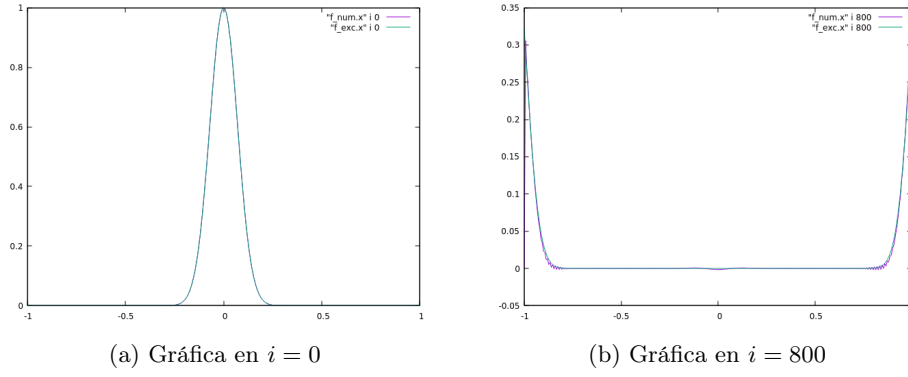


Figura 10: Gráficas de leapfrog con condición de frontera outgoing

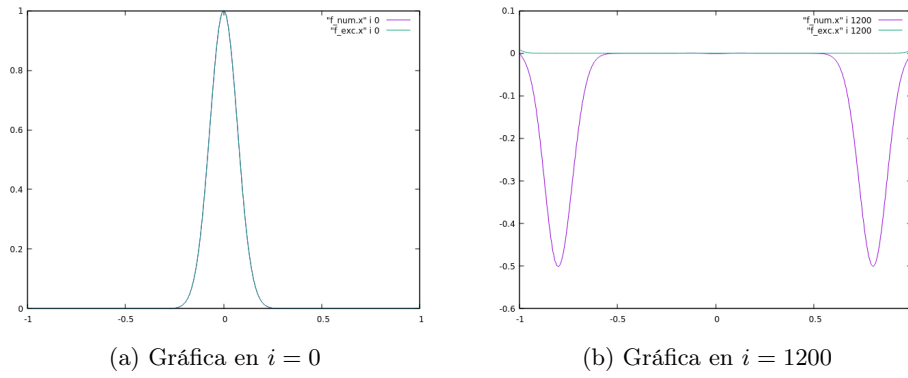


Figura 11: Gráficas de leapfrog con condición de frontera ingoing

#### 4. Esquema Lax-Wendroff

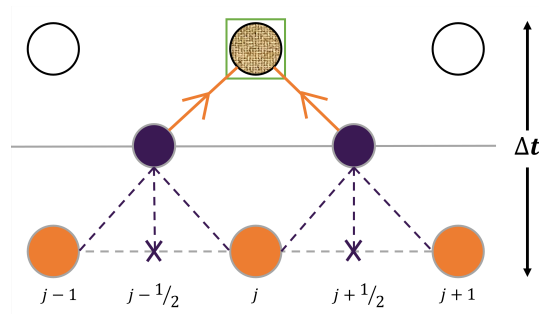


Figura 12: Malla con dos niveles temporales para esquema Lax-Wendroff

Primero tomando en cuenta las ecuaciones de Lax-Friedrichs (2), pero con  $(\Delta t/2)$ , tenemos lo siguiente

$$\mathbf{I} \quad \partial_t \pi = v \partial_x \psi \quad ; \quad v > 0$$

$$\blacksquare \quad \frac{\pi_{j-1/2}^{n+1/2} - \pi_{j-1/2}^n}{\Delta t/2} = v \left( \frac{\psi_j^n - \psi_{j-1}^n}{\Delta x} \right)$$

$$\pi_{j-1/2}^{n+1/2} = \pi_{j-1/2}^n + \frac{v}{2} \frac{\Delta t}{\Delta x} (\psi_j^n - \psi_{j-1}^n)$$

$$\pi_{j-1/2}^{n+1/2} = \frac{1}{2} (\pi_j^n + \pi_{j-1}^n) + \frac{v}{2} \frac{\Delta t}{\Delta x} (\psi_j^n - \psi_{j-1}^n) \quad (12)$$

$$\blacksquare \frac{\pi_{j+1/2}^{n+1/2} - \pi_{j+1/2}^n}{\Delta t/2} = v \left( \frac{\psi_{j+1}^n - \psi_j^n}{\Delta x} \right)$$

$$\pi_{j+1/2}^{n+1/2} = \pi_{j+1/2}^n + \frac{v}{2} \frac{\Delta t}{\Delta x} (\psi_{j+1}^n - \psi_j^n)$$

$$\pi_{j+1/2}^{n+1/2} = \frac{1}{2} (\pi_{j+1}^n + \pi_j^n) + \frac{v}{2} \frac{\Delta t}{\Delta x} (\psi_{j+1}^n - \psi_j^n) \quad (13)$$

II  $\partial_t \psi = v \partial_x \pi$  ;  $v > 0$

$$\psi_{j-1/2}^{n+1/2} = \frac{1}{2} (\psi_j^n + \psi_{j-1}^n) + \frac{v}{2} \frac{\Delta t}{\Delta x} (\pi_j^n - \pi_{j-1}^n) \quad (14)$$

$$\psi_{j+1/2}^{n+1/2} = \frac{1}{2} (\psi_{j+1}^n + \psi_j^n) + \frac{v}{2} \frac{\Delta t}{\Delta x} (\pi_{j+1}^n - \pi_j^n) \quad (15)$$

III  $\partial_t \phi = \pi$

$$\blacksquare \frac{\phi_{j-1/2}^{n+1/2} - \phi_{j-1/2}^n}{\Delta t/2} = \pi_j^n$$

$$\begin{aligned} \phi_{j-1/2}^{n+1/2} &= \phi_{j-1/2}^n + \frac{\Delta t}{2} \pi_j^n \\ &= \frac{1}{2} (\phi_j^n + \phi_{j-1}^n) + \frac{\Delta t}{2} \pi_j^n \end{aligned} \quad (16)$$

$$\blacksquare \frac{\phi_{j+1/2}^{n+1/2} - \phi_{j+1/2}^n}{\Delta t/2} = \pi_j^n$$

$$\begin{aligned} \phi_{j+1/2}^{n+1/2} &= \phi_{j+1/2}^n + \frac{\Delta t}{2} \pi_j^n \\ &= \frac{1}{2} (\phi_j^n + \phi_{j+1}^n) + \frac{\Delta t}{2} \pi_j^n \end{aligned} \quad (17)$$

Ahora aplicando Leapfrog, y reemplazando, tenemos

I  $\partial_t \pi = v \partial_x \psi$  ;  $v > 0$

$$\frac{\pi_j^{n+1} - \pi_j^n}{\Delta t} = v \left( \frac{\psi_{j+1/2}^{n+1/2} - \psi_{j-1/2}^{n+1/2}}{\Delta x} \right)$$

$$\pi_j^{n+1} = \pi_j^n + v \frac{\Delta t}{\Delta x} (\psi_{j+1/2}^{n+1/2} - \psi_{j-1/2}^{n+1/2})$$

$$= \pi_j^n + v \frac{\Delta t}{\Delta x} \left[ \frac{1}{2} \psi_{j+1}^n + \cancel{\frac{1}{2} \psi_j^n} + \frac{v}{2} \frac{\Delta t}{\Delta x} \pi_{j+1}^n - \frac{v}{2} \frac{\Delta t}{\Delta x} \pi_j^n - \cancel{\frac{1}{2} \psi_j^n} - \frac{1}{2} \psi_{j-1}^n - \frac{v}{2} \frac{\Delta t}{\Delta x} \pi_j^n + \frac{v}{2} \frac{\Delta t}{\Delta x} \pi_{j-1}^n \right]$$

$$\pi_j^{n+1} = \pi_j^n + \frac{v}{2} \frac{\Delta t}{\Delta x} (\psi_{j+1}^n - \psi_{j-1}^n) + \frac{v^2}{2} \frac{\Delta t^2}{\Delta x^2} (\pi_{j+1}^n + \pi_{j-1}^n - 2\pi_j^n) \quad (18)$$

II  $\partial_t \psi = v \partial_x \pi$  ;  $v > 0$

$$\frac{\psi_j^{n+1} - \psi_j^n}{\Delta t} = v \left( \frac{\pi_{j+1/2}^{n+1/2} - \pi_{j-1/2}^{n+1/2}}{\Delta x} \right)$$

$$\psi_j^{n+1} = \psi_j^n + v \frac{\Delta t}{\Delta x} (\pi_{j+1/2}^{n+1/2} - \pi_{j-1/2}^{n+1/2})$$

$$= \psi_j^n + v \frac{\Delta t}{\Delta x} \left[ \frac{1}{2} \pi_{j+1}^n + \cancel{\frac{1}{2} \pi_j^n} + \frac{v}{2} \frac{\Delta t}{\Delta x} \psi_{j+1}^n - \frac{v}{2} \frac{\Delta t}{\Delta x} \psi_j^n - \cancel{\frac{1}{2} \pi_j^n} - \frac{1}{2} \pi_{j-1}^n - \frac{v}{2} \frac{\Delta t}{\Delta x} \psi_j^n + \frac{v}{2} \frac{\Delta t}{\Delta x} \psi_{j-1}^n \right]$$

$$\psi_j^{n+1} = \psi_j^n + \frac{v}{2} \frac{\Delta t}{\Delta x} (\pi_{j+1}^n - \pi_{j-1}^n) + \frac{v^2}{2} \frac{\Delta t^2}{\Delta x^2} (\psi_{j+1}^n + \psi_{j-1}^n - 2\psi_j^n) \quad (19)$$

III  $\partial_t \phi = \pi$

$$\frac{\phi_j^{n+1} - \phi_j^n}{\Delta t} = \pi_j^n$$

$$\phi_j^{n+1} = \phi_j^n + \Delta t \pi_j^n \quad (20)$$

#### 4.1. Criterio estabilidad

1.  $\pi_j^n = \xi_1^n e^{ikx_j}$  y  $\psi_j^n = \xi_2^n e^{ikx_j}$

$$\xi_1^{n+1} e^{ikx_j} = \xi_1^n e^{ikx_j} + \frac{\alpha}{2} \xi_2^n (e^{ikx_{j+1}} - e^{ikx_{j-1}}) + \frac{\alpha^2}{2} (e^{ikx_{j+1}} + e^{ikx_{j-1}} - 2e^{ikx_j})$$

$$\xi_1 = 1 + \frac{\alpha}{2} \left( \frac{\xi_2}{\xi_1} \right)^n (e^{ik\Delta x} - e^{-ik\Delta x}) \frac{\alpha^2}{2} (e^{ik\Delta x} + e^{-ik\Delta x})$$

$$\xi_1 - 1 = \alpha^2 (\cos k\Delta x - 1) + i\alpha \sin k\Delta x \left( \frac{\xi_2}{\xi_1} \right)^n$$

$$\xi_2 - 1 = \alpha^2 (\cos k\Delta x - 1) + i\alpha \sin k\Delta x \left( \frac{\xi_1}{\xi_2} \right)^n$$

Teniendo presente que  $\xi_1 = \xi_2$  entonces podemos concluir que:

$$|\xi|^2 = [\alpha^2 (\cos k\Delta x - 1) + 1]^2 + \alpha^2 \sin^2 k\Delta x \leq 1$$

Que es fácil deducir que es menor o igual a 1 pero es mas visual con una gráfica.

2. Ahora al emplear  $\psi_j^n = \xi_1^n e^{ikx_j}$  y  $\pi_j^n = \xi_2^n e^{ikx_j}$  y segun la ecuacion de III de esta seccion obtenemos lo mismo que en el procedimiento anterior:

$$\begin{aligned}
\xi^{n+1} e^{ikx_j} &= \xi_1^n e^{ikx_j} + \frac{\alpha}{2} \xi_2^n (e^{ikx_{j+1}} - e^{ikx_{j-1}}) + \frac{\alpha^2}{2} (e^{ikx_{j+1}} + e^{ikx_{j-1}} - 2e^{ikx_j}) \\
\xi_1 &= 1 + \frac{\alpha}{2} \left( \frac{\xi_2}{\xi_1} \right)^n (e^{ik\Delta x} - e^{-ik\Delta x}) \frac{\alpha^2}{2} (e^{ik\Delta x} + e^{-ik\Delta x}) \\
\xi_1 - 1 &= \alpha^2 (\cos k\Delta x - 1) + i\alpha \sin k\Delta x \left( \frac{\xi_2}{\xi_1} \right)^n \\
\xi_2 - 1 &= \alpha^2 (\cos k\Delta x - 1) + i\alpha \sin k\Delta x \left( \frac{\xi_1}{\xi_2} \right)^n
\end{aligned}$$

De donde se obtiene un criterio de estabilidad idéntico

$$|\xi|^2 = [\alpha^2 (\cos k\Delta x - 1) + 1]^2 + \alpha^2 \sin^2 k\Delta x \leq 1$$

3.  $\phi_j^n = \xi_1^n e^{ikx_j}$  y  $\pi_j^n = \xi_2^n e^{ikx_j}$

$$\begin{aligned}
\xi^{n+1} e^{ikx_j} &= \xi^n e^{ikx_j} + \Delta t \xi_2^n e^{ikx_j} \\
\xi_1 &= 1 + \Delta t \left( \frac{\xi_2}{\xi_1} \right)^n \\
\xi_2 &= 1 + \Delta t \left( \frac{\xi_1}{\xi_2} \right)^n .
\end{aligned}$$

Permitiéndonos concluir que:

$$|\xi|^2 = (1 + \Delta t)^2 > 1$$

## 4.2. Solución con Boundary Conditions

[Enlace para ver los .gif de las soluciones del esquema para cada Boundary Condition](#)

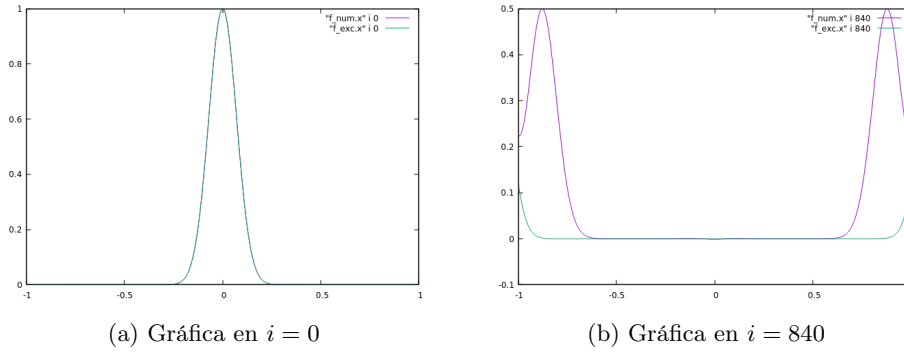


Figura 13: Gráficas de Lax-Wendroff con condición de frontera periódica

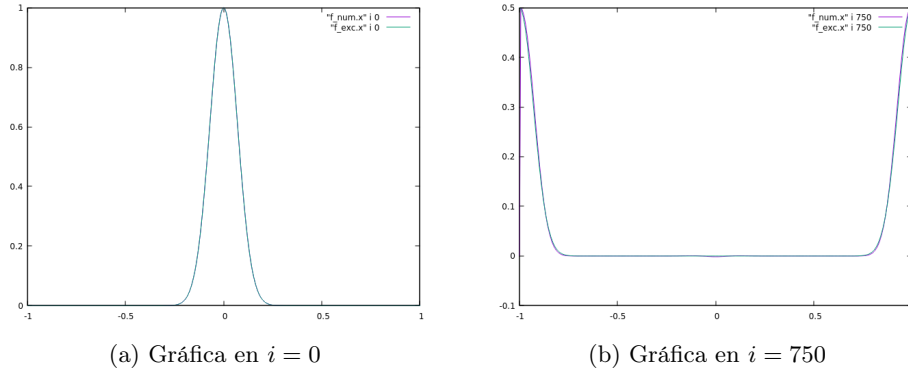


Figura 14: Gráficas de Lax-Wendroff con condición de frontera outgoing

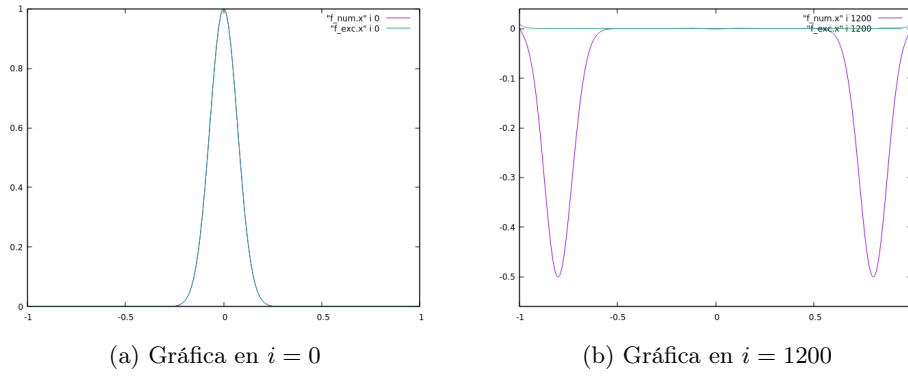


Figura 15: Gráficas de Lax-Wendroff con condición de frontera ingoing

## 5. Runge-Kutta Cash-Karp

Tener en cuenta  $y_{n+1} = y_n + h \sum_{i=1}^s b_i k_i$ , donde  $k_i = f \left( t_n + h c_i, y_n + h \sum_{j=1}^s a_{ij} k_j \right)$  y la tabla de Butcher correspondiente al método (ver tabla 16)

0						
1/5	1/5					
3/10	3/40	9/40				
3/5	3/10	-9/10	6/5			
1	-11/54	5/2	-70/27	35/27		
7/8	1631/55296	175/512	575/13824	44275/110592	253/4096	
	37/378	0	250/621	125/594	0	512/1771
	2825/27648	0	18575/48384	13525/55296	277/14336	1/4

Figura 16: Tabla butcher correspondiente al método Cash-Karp [1]

$$\mathbf{I} \partial_t \pi = v \partial_x \psi ; \quad v > 0$$

Teniendo en cuenta método de líneas, tenemos lo siguiente

$$\partial_t \pi_j = v \frac{(\psi_{j+1}^n - \psi_{j-1}^n)}{2\Delta x}$$

Esto es como si tuvieramos  $f(t_n)$ , por lo tanto  $k_i = f(t_n + hc_i)$  y para esto los  $t_{n+c}$  se deben hallar con el método descrito en la sección 1

$$\frac{\psi_j^{n+c} - \psi_j^n}{c\Delta t} = v \left( \frac{\pi_{j+1}^n - \pi_{j-1}^n}{2\Delta x} \right)$$

$$\psi_j^{n+c} = \psi_j^n + c \frac{v}{2} \frac{\Delta t}{\Delta x} (\pi_{j+1}^n - \pi_{j-1}^n)$$

$$\blacksquare k_1 = f(t_n)$$

$$k_1 = \frac{v}{2\Delta x} (\psi_{j+1}^n - \psi_{j-1}^n)$$

$$\blacksquare k_2 = f\left(t_n + \frac{1}{5}h\right) = f(t_{n+1/5})$$

$$k_2 = \frac{v}{2\Delta x} (\psi_{j+1}^{n+1/5} - \psi_{j-1}^{n+1/5})$$

$$k_2 = \frac{v}{2\Delta x} \left[ \psi_{j+1}^n - \psi_{j-1}^n + \frac{v}{2(5)} \frac{\Delta t}{\Delta x} (\pi_{j+2}^n - 2\pi_j^n + \pi_{j-2}^n) \right]$$

$$\blacksquare k_3 = f\left(t_n + \frac{3}{10}h\right) = f(t_{n+3/10})$$

$$k_2 = \frac{v}{2\Delta x} \left[ \psi_{j+1}^n - \psi_{j-1}^n + \frac{3v}{2(10)} \frac{\Delta t}{\Delta x} (\pi_{j+2}^n - 2\pi_j^n + \pi_{j-2}^n) \right]$$

$$\blacksquare k_4 = f\left(t_n + \frac{3}{5}h\right) = f(t_{n+3/5})$$

$$k_2 = \frac{v}{2\Delta x} \left[ \psi_{j+1}^n - \psi_{j-1}^n + \frac{3v}{2(5)} \frac{\Delta t}{\Delta x} (\pi_{j+2}^n - 2\pi_j^n + \pi_{j-2}^n) \right]$$

$$\blacksquare k_5 = f(t_n + h) = f(t_{n+1})$$

$$k_2 = \frac{v}{2\Delta x} \left[ \psi_{j+1}^n - \psi_{j-1}^n + \frac{v}{2} \frac{\Delta t}{\Delta x} (\pi_{j+2}^n - 2\pi_j^n + \pi_{j-2}^n) \right]$$

$$\blacksquare k_6 = f\left(t_n + \frac{7}{8}h\right) = f(t_{n+7/8})$$

$$k_2 = \frac{v}{2\Delta x} \left[ \psi_{j+1}^n - \psi_{j-1}^n + \frac{7v}{2(8)} \frac{\Delta t}{\Delta x} (\pi_{j+2}^n - 2\pi_j^n + \pi_{j-2}^n) \right]$$

Ahora tenemos que calcular  $y_{n+1} = y_n + h \sum_{i=1}^s b_i k_i$ , donde  $y_{n+1} = \pi_j^{n+1}$  y por ahora  $h = \Delta t$

$$\pi_j^{n+1} = \pi_j^n + \Delta t \left[ \frac{37}{378} k_1 + (0) k_2 + \frac{250}{621} k_3 + \frac{125}{594} k_4 + (0) k_5 + \frac{512}{1771} k_6 \right] \quad (21)$$

$$\tilde{\pi}_j^{n+1} = \pi_j^n + \Delta t \left[ \frac{2825}{27648} k_1 + (0) k_2 + \frac{18575}{48384} k_3 + \frac{13525}{55296} k_4 + \frac{277}{14336} k_5 + \frac{1}{4} k_6 \right] \quad (22)$$



$$\text{II } \partial_t \psi = v \partial_x \pi ; \quad v > 0$$

Aquí se calculan los  $k_i$  de manera similar al ítem anterior

$$\blacksquare k_1 = f(t_n)$$

$$k_1 = \frac{v}{2\Delta x} (\pi_{j+1}^n - \pi_{j-1}^n)$$

$$\blacksquare k_2 = f\left(t_n + \frac{1}{5}h\right) = f(t_{n+1/5})$$

$$k_2 = \frac{v}{2\Delta x} \left[ \pi_{j+1}^n - \pi_{j-1}^n + \frac{v}{2(5)} \frac{\Delta t}{\Delta x} (\psi_{j+2}^n - 2\psi_j^n + \psi_{j-2}^n) \right]$$

$$\blacksquare k_3 = f\left(t_n + \frac{3}{10}h\right) = f(t_{n+3/10})$$

$$k_2 = \frac{v}{2\Delta x} \left[ \pi_{j+1}^n - \pi_{j-1}^n + \frac{3v}{2(10)} \frac{\Delta t}{\Delta x} (\psi_{j+2}^n - 2\psi_j^n + \psi_{j-2}^n) \right]$$

$$\blacksquare k_4 = f\left(t_n + \frac{3}{5}h\right) = f(t_{n+3/5})$$

$$k_2 = \frac{v}{2\Delta x} \left[ \pi_{j+1}^n - \pi_{j-1}^n + \frac{3v}{2(5)} \frac{\Delta t}{\Delta x} (\psi_{j+2}^n - 2\psi_j^n + \psi_{j-2}^n) \right]$$

$$\blacksquare k_5 = f(t_n + h) = f(t_{n+1})$$

$$k_2 = \frac{v}{2\Delta x} \left[ \pi_{j+1}^n - \pi_{j-1}^n + \frac{v}{2} \frac{\Delta t}{\Delta x} (\psi_{j+2}^n - 2\psi_j^n + \psi_{j-2}^n) \right]$$

$$\blacksquare k_6 = f\left(t_n + \frac{7}{8}h\right) = f(t_{n+7/8})$$

$$k_2 = \frac{v}{2\Delta x} \left[ \pi_{j+1}^n - \pi_{j-1}^n + \frac{7v}{2(8)} \frac{\Delta t}{\Delta x} (\psi_{j+2}^n - 2\pi_j^n + \psi_{j-2}^n) \right]$$

Ahora tenemos que calcular  $y_{n+1} = y_n + h \sum_{i=1}^s b_i k_i$ , donde  $y_{n+1} = \psi_j^{n+1}$  y por ahora  $h = \Delta t$

$$\boxed{\psi_j^{n+1} = \psi_j^n + \Delta t \left[ \frac{37}{378} k_1 + (0) k_2 + \frac{250}{621} k_3 + \frac{125}{594} k_4 + (0) k_5 + \frac{512}{1771} k_6 \right]} \quad (23)$$

$$\tilde{\psi}_j^{n+1} = \psi_j^n + \Delta t \left[ \frac{2825}{27648} k_1 + (0) k_2 + \frac{18575}{48384} k_3 + \frac{13525}{55296} k_4 + \frac{277}{14336} k_5 + \frac{1}{4} k_6 \right] \quad (24)$$

$$\text{III } \partial_t \phi = \pi$$

En este caso la ecuación general que se usa, es la siguiente

$$\frac{\pi_j^{n+c} - \pi_j^n}{c\Delta t} = v \left( \frac{\psi_{j+1}^n - \psi_{j-1}^n}{2\Delta x} \right)$$

$$\psi_j^{n+c} = \psi_j^n + c \frac{v}{2} \frac{\Delta t}{\Delta x} (\pi_{j+1}^n - \pi_{j-1}^n)$$

Teniendo esto en cuenta, los  $k_2$  quedan de la siguiente forma

$$\begin{aligned}
& \blacksquare k_1 = f(t_n) \\
& k_1 = \pi_j^n \\
& \blacksquare k_2 = f\left(t_n + \frac{1}{5}h\right) = f(t_{n+1/5}) \\
& k_2 = \pi_j^n + \frac{v}{2(5)} \frac{\Delta t}{\Delta x} (\psi_{j+1}^n - \psi_{j-1}^n) \\
& \blacksquare k_3 = f\left(t_n + \frac{3}{10}h\right) = f(t_{n+3/10}) \\
& k_3 = \pi_j^n + \frac{3v}{2(10)} \frac{\Delta t}{\Delta x} (\psi_{j+1}^n - \psi_{j-1}^n) \\
& \blacksquare k_4 = f\left(t_n + \frac{3}{5}h\right) = f(t_{n+3/10}) \\
& k_4 = \pi_j^n + \frac{3v}{2(5)} \frac{\Delta t}{\Delta x} (\psi_{j+1}^n - \psi_{j-1}^n) \\
& \blacksquare k_5 = f(t_n + h) = f(t_{n+1}) \\
& k_5 = \pi_j^n + \frac{v}{2} \frac{\Delta t}{\Delta x} (\psi_{j+1}^n - \psi_{j-1}^n) \\
& \blacksquare k_6 = f\left(t_n + \frac{7}{8}h\right) = f(t_{n+7/8}) \\
& k_6 = \pi_j^n + \frac{7v}{2(8)} \frac{\Delta t}{\Delta x} (\psi_{j+1}^n - \psi_{j-1}^n)
\end{aligned}$$

$$\boxed{\phi_j^{n+1} = \phi_j^n + \Delta t \left[ \frac{37}{378} k_1 + (0)k_2 + \frac{250}{621} k_3 + \frac{125}{594} k_4 + (0)k_5 + \frac{512}{1771} k_6 \right]} \quad (25)$$

$$\tilde{\phi}_j^{n+1} = \phi_j^n + \Delta t \left[ \frac{2825}{27648} k_1 + (0)k_2 + \frac{18575}{48384} k_3 + \frac{13525}{55296} k_4 + \frac{277}{14336} k_5 + \frac{1}{4} k_6 \right] \quad (26)$$

### 5.1. Criterio estabilidad

Por medio de una expansión en series de Taylor se demuestra que el método de Runge-Kutta es consistente sí y solo sí  $\sum_{i=1}^s b_i = 1$ , en nuestro caso estas sumatorias se desarrollan de la siguiente manera

$$\begin{aligned}
\sum_{i=1}^s b_i &= \frac{37}{378} + 0 + \frac{250}{621} + \frac{125}{594} + 0 + \frac{512}{1771} = 1 \\
\sum_{i=1}^s \tilde{b}_i &= \frac{2825}{27648} + 0 + \frac{18575}{48384} + \frac{13525}{55296} + \frac{277}{14336} + \frac{1}{4} = 1
\end{aligned}$$

Como ambas sumatorias son igual a 1, podemos concluir que el método de Runge-Kutta es consistente, y por consiguiente, estable.

## 5.2. Solución con Boundary Conditions

[Enlace para ver los .gif de las soluciones del esquema para cada Boundary Condition](#)

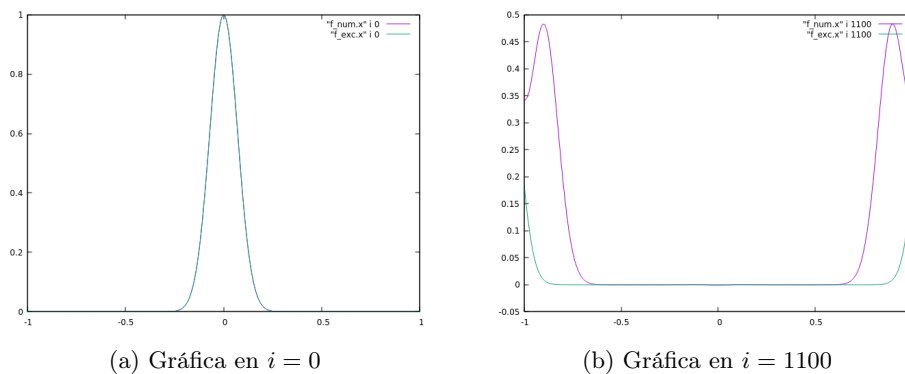


Figura 17: Gráficas de Runge-kutta Cash-Karp con condición de frontera periódica

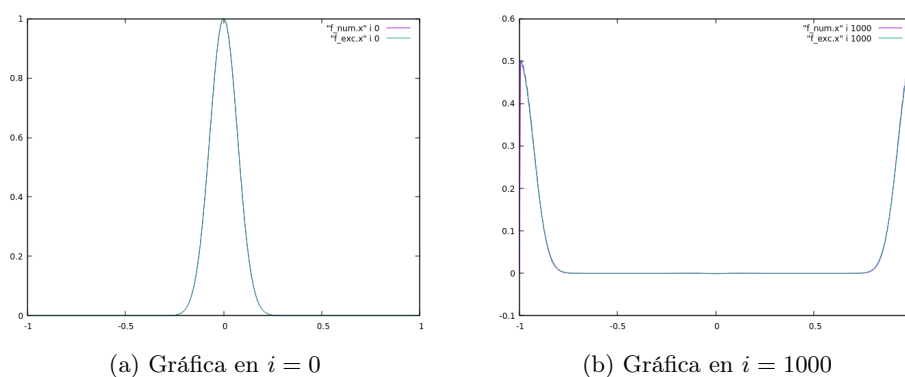


Figura 18: Gráficas de Runge-kutta Cash-karp con condición de frontera outgoing

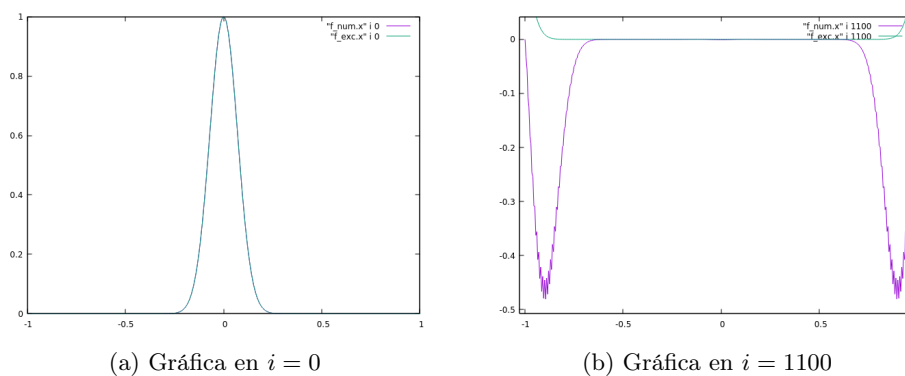


Figura 19: Gráficas de Runge-kutta Cash-karp con condición de frontera ingoing

## Referencias

- [1] Wikipedia contributors. Cash–karp method — Wikipedia, the free encyclopedia, 2021. [Online; accessed 2-August-2022].